

LATITUDE Link™
IDCO-SPECIFIKATION

LATITUDE Link™ -systemet

Outdated version. Do not use.
Version überholt. Nicht verwenden.
Version obsolète. Ne pas utiliser.
Versión obsoleta. No utilizar.
Versione obsoleta. Non utilizzare.
Verouderde versie. Niet gebruiken.
Föråldrad version. Använd ej.
Παλιά έκδοση. Μην την χρησιμοποιείτε.
Versão obsoleta. Não utilize.
Forældet version. Må ikke anvendes.
Zastaralá verze. Nepoužívat.
Utdatert versjon. Skal ikke brukes.
Zastaraná verzia. Nepoužívať.
Elavult verzió. Ne használja!
Wersja nieaktualna. Nie używać.

Outdated version. Do not use.
Version überholt. Nicht verwenden.
Version obsolète. Ne pas utiliser.
Versión obsoleta. No utilizar.
Versione obsoleta. Non utilizzare.
Verouderde versie. Niet gebruiken.
Föråldrad version. Använd ej.
Παλιά έκδοση. Μην την χρησιμοποιείτε.
Versão obsoleta. Não utilize.
Forældet version. Må ikke anvendes.
Zastaralá verze. Nepoužívat.
Utdatert versjon. Skal ikke brukes.
Zastaraná verzia. Nepoužívať.
Elavult verzió. Ne használja!
Wersja nieaktualna. Nie używać.

INNEHÅLLSFÖRTECKNING

Översikt	1
Specifikation för IDCO-meddelanden	1
Segmentstruktur	1
MSH segmentstruktur	1
PID segmentstruktur	2
PV1 segmentstruktur	2
OBR segmentstruktur	2
OBX segmentstruktur	3
NTE-segmentstruktur	3
Enhetsrapport	3
Grundtermer	4
Konvertering av data för implanterad enhet till IDCO-meddelanden	8
Batteristatus	8
Typ av Brady-sensor	8
Episodmappning	8
Mappning av episodräknare	9
Mappning av elektrodkonfiguration	10
Systembegränsningar	11
Information om enhetens status	11
Rapporter	11
Exempel på IDCO-filer	12

Outdated version. Do not use.
Version überholt. Nicht verwenden.
Version obsolète. Ne pas utiliser.
Versión obsoleta. No utilizar.
Versione obsoleta. Non utilizzare.
Verouderde versie. Niet gebruiken.
Föråldrad version. Använd ej.
Παλιά έκδοση. Μην την χρησιμοποιείτε.
Versão obsoleta. Não utilize.
Forældet version. Må ikke anvendes.
Zastaralá verze. Nepoužívat.
Utdatert versjon. Skal ikke brukes.
Zastaraná verzia. Nepoužívať.
Elavult verzió. Ne használja!
Wersja nieaktualna. Nie używać.

Översikt

Boston Scientific LATITUDE Link™-systemet skapar IDCO-meddelanden (Implantable Device Cardiac Observation, hjärtobservation för implanterbara apparater) i enlighet med specifikationerna och definitionerna som publiceras i detta dokument. Dessa meddelanden överensstämmer med Integrating the Healthcare Enterprise (IHE) Patient Care Device (PCD) Technical Framework IDCO-profilen och används för att leverera patientdata till EMR-system (elektroniska medicinska register).

Detta dokument är avsett för Boston Scientific-kunder (BSC) som (1) integrerar IDCO-meddelanden i EMR och (2) använder EMR för att spåra och hantera patientdata. Det första avsnittet i detta dokument ("IDCO-meddelandespecifikation") är i första hand avsett för teknisk personal inom meddelandeintegration medan det andra avsnittet i första hand är avsett för läkaren som ytterligare förklaring av Boston Scientific-versioner av datan i meddelandet.

NOTERA: Man antar att den som läser detta avsnitt känner till HL7- och IDCO-terminologi, specifikationssyntax, datatyper, meddelandestrukturer och semantik för IDCO-meddelanden. Mer information finns i:

- www.hl7.org för HL7-meddelanden
- www.ihe.net för IDCO-meddelanden
- http://ihe.net/Technical_Framework/index.cfm#pcd för PCD-09 Technical Framework (består av vol. 1, 2 och 3)
- <http://standards.ieee.org/findstds/standard/11073-10103-2012.html> för IEEE IDCO-nomenklatur

Specifikation för IDCO-meddelanden

IDCO-meddelandet är ett PCD-09-meddelande enligt IHE PCD Technical Framework Revision 3.0, October 11, 2013. Enligt det tekniska ramverket är meddelandet ett standardmeddelande av typen HL7 v2.6 icke ombedda order och observationer och innehåller observationer tagna av den implanterade apparaten och kodad med hjälp av ISO/IEEE 11073-10103:2014 IDC-nomenklaturen. Denna internationella standard beskriver en universalmodell för interoperabilitet för medicinska elektroniska data.

Värden inom citattecken i värdekolumnerna i tabellerna nedan indikerar hårdkodade värden som alltid visas så här. Värden utan citattecken indikerar antingen ett exempel eller en beskrivning av värdet.

Segmentstruktur

Alla skickade data är enligt PCD-09. Information i det här avsnittet är avsett att definiera BSC-resultat för IDCO-meddelanden. Den är inte komplett och är inte avsedd att vidare definiera IDCO-nomenklaturen.

MSH segmentstruktur

MSH-segmentet innehåller information om avsändaren och mottagaren av meddelandet, typen av meddelande, en tidsstämpel osv. Det är det först segmentet i IDCO-meddelandet.

ELEMENTNAMN	SEKV	SUB SEKV	VÄRDE
Skickar program	3		"LATITUDE Link"
Avsändaravdelning	4		"BOSTON SCIENTIFIC"
Mottagaravdelning	6		Kliniknamn
Teckenuppsättning	18		"UNICODE UTF-8"

PID segmentstruktur

PID-segmentet innehåller information för att kunna identifiera patienten, t.ex. namn, ID-koder och postnummer. Denna information används för patientmatchning.

ELEMENTNAMN	SEKV	SUB SEKV	VÄRDE
Namnrymd-ID	3	4	"BSX"

PV1 segmentstruktur

PV1-segmentet (Patient Visit, patientbesök) innehåller information om patientens närvarande läkare.

ELEMENTNAMN	SEKV	SUB SEKV	VÄRDE
Patientklass	2		"R"

OBR segmentstruktur

OBR-segment är avsnittsrubriker för enskilda OBX-segment med interrogeringsinformation. De innehåller data som tidsstämplar, rapportidentifikare, och en unik systemgenererad identifikare.

ELEMENTNAMN	SEKV	SUB SEKV	EXEMPELVÄRDE
Universell identifiering av service	4		
Identifikare		1	754050
Text		2	Se anmärkning 1
Datum/tid för observation nr	7		20060429080005 Se anmärkning 2
Resultatstatus	25		"F" Se anmärkning 3

OBR-anteckningar

1. Den universella serviceidentifieringstexten är i formen MDC_IDC_ENUM_SESS_TYPE_{session type} (t.ex. MDC_IDC_ENUM_SESS_TYPE_InClinic).
2. Observationens datum/tid är tidsstämpeln för när interrogeringen för den implanterade apparaten inträffade. Tidsstämpeln från en klinisk interrogering är från den tid som anges av PRM.
3. Resultatstatus kommer att vara "F" (final results, slutresultat)

OBX segmentstruktur

OBX-segment innehåller data som samlats in under den senaste enhetsinterrogeringen.

ELEMENTNAMN	SEKV	SUB SEKV	EXEMPELVÄRDE
Status för observationsresultat	11		"F" Se anmärkning 1
Datum/tid för observation	14		20060317 Se anmärkning 2

OBX-anteckningar

1. Resultatstatus kommer att vara "F" (final results, slutresultat).
2. Datum för mätningen kommer att ingå om mätdatumet skiljer sig från observationsdatumet i OBR.

Energiparametrar

- Strängar kommer att skickas på det språk som konfigurerats.
- Siffrvärden skickas alltid med en punkt "." som radixpunkt (dvs. decimalpunkt).

NTE-segmentstruktur

- S-ICD-enheter
 - Den första NTE kommer att innehålla inställningsinformation i en *-etikett: värde*-format med varje inställning avskild med en radbrytning (.br). Exempel:
NTE|1||Avkänningskonfiguration: Primär.br\Förstärkningsinställning:
2X.br\
Stimulering post-chock: PÅ
 - Om det finns information om enhetens status kommer alla enheter att vara i den andra NTE.
Exempel:
NTE|2||Enheten kräver omedelbar uppmärksamhet.br\\br\Kontakta
Boston Scientific - BD.br\\br\Amerika: 1-800-CARDIAC (227-3422) eller
+1-651-582-4000.br\Europa, Mellanöstern, Afrika: +32 2 416 7222.br\Asien
och Stillaohavsområdet: +61 2 8063 8299
- Övriga enheter
 - Om det finns information om enhetens status kommer det finnas en NTE för varje enhetsstatus.

Enhetsrapport

- En enda PDF med en eller flera enhetsrapporter kan ingå i meddelandet i en enda OBX.

Grundtermer

Följande tabell innehåller nomenklaturtermer som kan finnas med i ett BSC IDCO-meddelande.

LÄGG TILL MDC_IDC_DEV FÖRE	Implanterbar hjärtapparat
_TYPE	Typ
_MODEL	Modell
_SERIAL	Serienummer
_MFG	Tillverkare
_IMPLANT_DT	Implantationsdatum
LÄGG TILL MDC_IDC_LEAD FÖRE	Egenskaper för implanterbar elektrod
_MODEL	Modell
_SERIAL	Serienummer
_MFG	Tillverkare
_IMPLANT_DT	Implantationsdatum
_POLARITY_TYPE	Polaritetstyp
_LOCATION	Placering
_LOCATION_DETAIL_1	Placeringsdetalj 1
LÄGG TILL MDC_IDC_SESS FÖRE	Interrogeringssession
_DTM	Datum Tid Interrogeringssession
_TYPE	Typ Interrogeringssession
_CLINIC_NAME	Kliniknamn
_CLINICIAN_CONTACT_INFORMATION	Läkarens kontaktinformation
PREPEND MDC_IDC_MSMT	Mätvärden
_BATTERY	Mätvärden för batteri
_DTM	Datum Tid för mätvärden
_BATTERY_STATUS	Status
_BATTERY_REMAINING_LONGEVITY	Kvarvarande livslängd
_BATTERY_REMAINING_PERCENTAGE	Återstående procent
_CAP	Mätvärden
_CHARGE_DTM	Senaste uppladdning Tid Datum
_CHARGE_TIME	Uppladdningstid
_CHARGE_TYPE	Uppladdningstyp
_CHARGE_ENERGY	Uppladdning Energi
LEADCHNL[CHAMBER]	Mätvärden för elektrodkanal
DTM[STRTEND]	Datum och tid för mätvärden
_LEAD_CHANNEL_STATUS	Status

LÄGG TILL MDC_IDC_MSMT FÖRE	Mätvärden
LEADCHNL[CHAMBER]_SENSING	Avkänningsmätvärden för elektrodkanal
_INTR_AMPL_[MMM]	Avkänning av egenamplitud
_POLARITY	Avkänning av polaritet
LEADCHNL[CHAMBER]_PACING_THRESHOLD	Mätvärden för elektrodkanalens tröskelvärde
_AMPLITUDE	Amplitud
_PULSEWIDTH	Pulsbredd
_MEASUREMENT_METHOD	Mätmetod
_POLARITY	Polaritet
LEADCHNL[CHAMBER]_IMPEDANCE	Mätvärden för elektrodkanalens impedans
_VALUE	Värde
_POLARITY	Polaritet
_LEADHVCHNL	Mätvärden för elektrodens högspänningskanal
DTM[STRT]	Datum Tid
_IMPEDANCE	Impedans
_MEASUREMENT_TYPE	Typ av mätvärden
_STATUS	Status
LÄGG TILL MDC_IDC_SET FÖRE	Inställningar
_CRT	CRT-inställningar
_LVRV_DELAY	LV-RV-fördröjning
_PACED_CHAMBERS	Ventrikulära kammare stimulerade vid CRT-pacing
LEADCHNL[CHAMBER]_SENSING	Inställningar för elektrodkanal
_SENSITIVITY	Sensitivitet
_POLARITY	Polaritet
_ANODE_LOCATION_[1..3]	Anodplats
_ANODE_ELECTRODE_[1..3]	Anodanslutning
_CATHODE_LOCATION_[1..3]	Katodplats
_CATHODE_ELECTRODE_[1..3]	Katodanslutning
_ADAPTATION_MODE	Anpassningsmod
LEADCHNL[CHAMBER]_PACING	Inställningar för elektrodkanal Pacing
_AMPLITUDE	Amplitud
_PULSEWIDTH	Pulsbredd
_PACING_POLARITY	Polaritet
_ANODE_LOCATION_[1..3]	Anodplats
_ANODE_ELECTRODE_[1..3]	Anodanslutning

LEADCHNL[CHAMBER]_PACING	Inställningar för elektrodkanal Pacing
_CATHODE_LOCATION_[1..3]	Katodplats
_CATHODE_ELECTRODE_[1..3]	Katodanslutning
_CAPTURE_MODE	Registreringsmod
_BRADY	Brady-inställningar
_MODE	Mod (NBG-kod)
_LOWRATE	Basfrekvens
_SENSOR_TYPE	Sensortyp
_MAX_TRACKING_RATE	Maximal trackingfrekvens
_MAX_SENSOR_RATE	Maximal sensorfrekvens
_SAV_DELAY_[HIGHLOW]	SAV-fördröjning
_PAV_DELAY_[HIGHLOW]	PAV-fördröjning
_AT_MODE_SWITCH_MODE	AT-modbytesmod
_AT_MODE_SWITCH_RATE	AT-modbytesfrekvens
_TACHYTHERAPY	Inställningar för takybehandling
_VSTAT	Ventrikulärstatus
_ZONE	Zoninställningar
_TYPE	Typkategori
_VENDOR_TYPE	Kategori för typ av leverantör
_STATUS	Status
_DETECTION_INTERVAL	Detektionsintervall
_DETECTION_DETAILS	Detektionsdetaljer
_TYPE_ATP_[1..10]	ATP-typ
_NUM_ATP_SEQS_[1..10]	Antal ATP-sekvenser
_SHOCK_ENERGY_[1..10]	Chockenergi
_NUM_SHOCKS_[1..10]	Antal chocker
LÄGG TILL MDC_IDC_STAT FÖRE	Statistik
DTM[STRTEAD]	Statistik Datum, Tid
_AT	Statistik för förmakstakykardi
DTM[STRTEAD]	Datum Tid
_BURDEN_PERCENT	Procent AT-/AF-belastning
_BRADY	Brady-statistik
DTM[STRTEAD]	Datum Tid
_RA_PERCENT_PACED	RA-stimulering i procent
_BRADY_RV_PERCENT_PACED	RV-stimulering i procent

_CRT	CRT-statistik
DTM[STRTEND]	Datum Tid
_LV_PERCENT_PACED	LV-stimulering i procent
LÄGG TILL MDC_IDC_STAT FÖRE	Statistik
_TACHYTHERAPY	Statistik för takybehandling
_SHOCKS_DELIVERED_RECENT	Senaste chocker avgivna
_RECENT_DTM_[STRTEND]	Senaste Datum Tid
_SHOCKS_DELIVERED_TOTAL	Totalt antal chocker avgivna
_TOTAL_DTM_[STRTEND]	Totalt Datum Tid
_SHOCKS_ABORTED_RECENT	Senaste chocker avbrutna
_SHOCKS_ABORTED_TOTAL	Totalt antal chocker avbrutna
_ATP_DELIVERED_RECENT	Senast ATP avgivna
_ATP_DELIVERED_TOTAL	Totalt ATP avgiven
_EPISODE	Episodstatistik
_TYPE	Typkategori
_TYPE_INDUCED	Typ inducerad
_VENDOR_TYPE	Kategori för typ av leverantör
_RECENT_COUNT	Senaste räkning
_RECENT_COUNT_DTM_[STRTEND]	Senaste Datum Tid
_TOTAL_COUNT	Total räkning
_TOTAL_COUNT_DTM_[STRTEND]	Totalt Datum Tid
LÄGG TILL MDC_IDC_EPISODE FÖRE	Episod
_ID	Identifierare
_DTM	Datum Tid
_TYPE	Typkategori
_TYPE_INDUCED	Typ inducerad flagga
_VENDOR_TYPE	Kategori för typ av leverantör
_ATRIAL_INTERVAL_AT_DETECTION	Detektionsintervall förmak
_VENTRICULAR_INTERVAL_AT_DETECTION	Detektionsintervall ventrikulär
_DETECTION_THERAPY_DETAILS	Detektions- och behandlingsdetaljer
_DURATION	Duration

Konvertering av data för implanterad enhet till IDCO-meddelanden

Batteristatus

Uppräkning av batteriparameterkarta för BSC batteristatus enligt följande:

BSC BATTERISTATUS (S-ICD-enheter)	BSC BATTERISTATUS (alla andra enheter)	IDCO BATTERISTATUS
>10 % kvar till ERI	BOL	BOS
<= 10 % kvar till ERI	OY	MÅN
ERI	ERI	RRT
EOL	EOL	EOS

Typ av Brady-sensor

Brady-sensorn skickas enligt tabellen nedan.

VÄRDET SOM SKICKATS FÖR VARIABELN SET_BRADY_SENSOR_TYPE BASERAS PÅ KONFIGURERAD IMPLANTERAD ENHET	INSTÄLLNING FÖR IMPLANTERAD ENHET
"Accelerometer"	Endast accelerometer
"Minutventilation"	Endast MV
"Accelerometer + MV"	"Accelerometer och MV"

Värdena ovan skickas endast om frekvensen kan drivas av sensorn (dvs. skickas inte om sensorn är i tillståndet Endast monitor).

Värdena ovan skickas om frekvensen kan drivas i normal Brady-mod eller i ATR (dvs. värdet speglar inte bara normal Brady-mod).

Observera att "Endast ATR" kan visas i rapporter när ATR-moden är sensorstyrd och normal Brady-mod inte är sensorstyrd. I så fall skickas fortfarande texten (t.ex. "Accelerometer") för ATR-moden. Användaren kan titta på Brady-moden och ATR-moden och fastställa att det endast är ATR som är sensorstyrd.

Episodmappning

Episoder, räknare m.m. skickas i förhållande till den information som finns i interrogeringen. Samma information skickas initialt och i en efterföljande sändning igen även om det finns interrogeringar däremellan. Episoder representeras av en kombination av normativa och leverantörsspecifika typer. Vissa typer av Boston Scientific-episoder kan inte representeras unikt i den aktuella IDCO-nomenklaturen.

BSC EPISOD-ID	BSC EPISOD-TYP	IDCO NORMATIV EPISODTYP	IDCO LEVERANTÖRSSPECIFIK EPISODTYP
<episodnummer>	Behandlad	VF	BSX-Zone_VF
<episodnummer>	Obehandlad	Annan	Se anmärkning 1

Anmärkning 1: Den leverantörsspecifika episodtypen OBX kommer att finnas i meddelandet med ett tomt observationsvärde.

Mapping av episodräknare

Episodräknare representeras av en kombination av normativa och leverantörsspecifika typer. Vissa typer av Boston Scientific-räknare kan inte representeras unikt i den aktuella IDCO-nomenklaturen. Räknarvärdena som skickas kommer att inkludera värden sedan senaste uppföljningen och sedan implantationen.

BSC EPISODRÄKNARE	IDCO STATISTISK NORMATIV EPISODTYP	IDCO STATISTISK LEVERANTÖRSSPECIFIK EPISODTYP
Behandlad	VF	BSX-Epis_VF
Obehandlad	Annan	Se anmärkning 1
VT (V>A)	VT	BSX-Epis_VT
Taky	VT	BSX-Epis_VT
NonSust	VT	BSX-Epis_NSVT
NonSustV	VT	BSX-Epis_NSVT
SVT (V≤A)	SVT	BSX-Epis_SVT
ATR	AT/AF	BSX-Epis_ATR
MRT	Annan	Ingen
VF	VF	BSX-Epis_VF
VT	VT	BSX-Epis_VT
VT-1	VT	BSX-Epis_VT-1
Ingen terapi programmerad	Monitor	Ingen
Annan obehandlad	Annan	Ingen

Anmärkning 1: Den leverantörsspecifika räknarstat OBX kommer att finnas i meddelandet med ett tomt observationsvärde.

Mapping av elektrodkonfiguration

Tabellen nedan visar hur IDCO och BSC definierar multielektroder. Den här tabellen är inte komplett utan innehåller endast uppräknings som kanske inte är självklara.

De definitioner som BSC använder ska överensstämma med Programmeraren (PRM) och LATITUDE:s webbsida.

BSC ELEKTRODNAMN	IDCO ELEKTRODPLACERING	IDCO ELEKTRODNAMN
Kapsel	Annan	Kapsel
LVTip1	LV	Spets
LVRing2	LV	Ring1
LVRing3	LV	Ring2
LVRing4	LV	Ring3

MDC_IDCO_ENUM_ELECTRODE_LOCATION (placering av stimulerings-/avkänningsanod/-katod) innehåller för närvarande inte någon enumerering för fickan (dvs. kapseln). Placeringen skickas som "annan" och elektrodyta som "kapsel".

En status "kontrollera elektrod" indikerar ett eventuellt problem med elektroden, men frånvaron av status "kontrollera elektrod" indikerar inte en fullt fungerande elektrod. Statusen "kontrollera elektrod" skickas om någon av följande statusindikatorer förekommer:

- S-ICD-enheter
 - Hög elektrodimpedans
- Övriga enheter
 - Säkerhetsomkopplare för elektrod
 - Impedansen utanför området
 - Amplituden utanför området
 - Låg chockimpedans
 - Hög chockimpedans
 - Hög spänning under laddning
 - Autotröskelvärde hålls fast eller tröskelvärde större än programmerat

För MSMT_LEADCHNL_[CHAMBER] (dvs., elektrodkanalmätvärden som egenamplitud, elektrodimpedans, stimulanströskel), är endast ett tidsstämpelområde möjligt för alla mätvärden (dvs. inte ett område per mätvärde) i den aktuella IDCO-nomenklaturen. Om mätvärdestiderna är olika kommer ett tidsstämpelområde (dvs. MIN, MAX) att skickas som innehåller tiden för alla mätvärden. Vidare kommer de värden som skickas att vara ett IDCO MEAN-värde enligt IDCO-nomenklaturen. Men värdena är enkla mätvärden och inte medelvärden för tidsstämpelområdet.

Systembegränsningar

- IDCO-nomenklaturen definierar inte alla tillgängliga data i den implanterbara enheten. Vissa odefinierade data kan skickas med hjälp av den närmaste representationen som finns i IDCO. Till exempel:
 - Information om VT-zon skickas för Brady-enheter som om de hade en VT-zon.
 - För S-ICD-enheter skickas chockzoner som VF-zon och villkorlig chockzon skickas som VT-zon.
 - Elektrodmatvärden i meddelandet innehåller matvärden i enlighet med följande prioritet:
 1. Kontorsmatvärden
 2. Senaste dagliga mätningen
 3. POST-mätvärden
- Korrekt rapportering av data för implanterade enheter och enhetsstatusmeddelanden beror på om den implanterade enhetens klocka har programmerats korrekt med en Programmerare. Korrekt rapportering kan fortsätta att påverkas under en tid efter det att den implanterade enhetens klocka programmerats korrekt, beroende på mängden data som mottagits med felaktig tidsinformation och tidsskillnaden för den implanterade enhetens klockfel.
- Strängar kommer att skickas på det språk som konfigurerats för kliniken.

Information om enhetens status

Information om enhetens status från PG finns i meddelandet som anteckningar som kanske visas i en EMR.

Rapporter

Enhetsrapport

En enda PDF med en eller flera enhetsrapporter kan ingå i meddelandet baserat på konfigurationen i LATITUDE Link-programmet.

Exempel på IDCO-filer

Följande exempel på IDCO-filer visar hur ett Boston Scientific IDCO-meddelande kan se ut. Dessa är endast två exempel av flera möjliga resultat. Data i exempelmeddelandena är hypotetiska och inte alla IDCO-termer representeras.

Exempelmeddelande 1 - S-ICD-enhet

```
MSH|^~\&|LATITUDE Link|BOSTON SCIENTIFIC||Clinic
Name|201407151441+0000||ORU^R01^ORU_R01|26000320140715144112|P|2.6|||||UNICODE UTF-
8|sv^Swedish||IHE_PCD_009^IHE_PCD^1.3.6.1.4.1.19376.1.6.1.9.1^ISO
PID|1||model:1010/serial:474^^^BSX^U||Smith^John|||U
PV1|1|R
OBR|1||G21234|754050^MDC_IDC_ENUM_SESS_TYPE_InClinic^MDC|||201311260000-
0600|||||||||||||F
NTE|1||Avkänningskonfiguration: Alternate\br\Förstärkningsinställning:
1X\br\Stimulering post-chock: PÅ
NTE|2||Enheten måste omedelbart ses över.\br\br\Kontakta Boston Scientific -
BD.\br\br\br\Nord- och Sydamerika:1.800.CARDIAC (227.3422) eller
+1.651.582.4000\br\Europa, Mellanöstern, Afrika: +32 2 416 7222\br\Asien/
Stillahavsområdet: +61 2 8063 8299
OBX|1|DTM|721025^MDC_IDC_SESS_DTM^MDC||201311260000-0600|||||F
OBX|2|CWE|721026^MDC_IDC_SESS_TYPE^MDC||754050^MDC_IDC_ENUM_SESS_TYPE_InClinic^MDC|||
||F
OBX|3|ST|721031^MDC_IDC_SESS_CLINICIAN_NAME^MDC||Dr. No|||||F
OBX|4|ST|721032^MDC_IDC_SESS_CLINICIAN_CONTACT_INFORMATION^MDC||1-800-CARDIAC|||||F
OBX|5|DTM|721216^MDC_IDC_MSMT_BATTERY_DTM^MDC||201311260000-0600|||||F
OBX|6|CWE|721280^MDC_IDC_MSMT_BATTERY_STATUS^MDC||754113^MDC_IDC_ENUM_BATTERY_STATUS_B
OS^MDC|||||F
OBX|7|NM|721536^MDC_IDC_MSMT_BATTERY_REMAINING_PERCENTAGE^MDC||48%|||F
OBX|8|ST|739536^MDC_IDC_EPISODE_ID^MDC|1|0|||||F
OBX|9|DTM|739552^MDC_IDC_EPISODE_DTM^MDC|1|20131026082822|||||F
OBX|10|CWE|739568^MDC_IDC_EPISODE_TYPE^MDC|1|754888^MDC_IDC_ENUM_EPISODE_TYPE_Epis_Oth
er^MDC|||||F
OBX|11|CWE|739600^MDC_IDC_EPISODE_VENDOR_TYPE^MDC|1|1|||||F
OBX|12|CWE|739584^MDC_IDC_EPISODE_TYPE_INDUCED^MDC|1|755330^MDC_IDC_ENUM_EPISODE_TYPE_
INDUCED_NO^MDC|||||F
OBX|13|NM|739712^MDC_IDC_EPISODE_DURATION^MDC|1|168430090|s|||||F
OBX|14|ST|739680^MDC_IDC_EPISODE_DETECTION_THERAPY_DETAILS^MDC|1|0BEHANDLAD
EPISOD|||||F
OBX|15|ST|739536^MDC_IDC_EPISODE_ID^MDC|2|1|||||F
OBX|16|DTM|739552^MDC_IDC_EPISODE_DTM^MDC|2|20131026082822|||||F
OBX|17|CWE|739568^MDC_IDC_EPISODE_TYPE^MDC|2|754881^MDC_IDC_ENUM_EPISODE_TYPE_Epis_VF^
MDC|||||F
OBX|18|CWE|739600^MDC_IDC_EPISODE_VENDOR_TYPE^MDC|2|771073^MDC_IDC_ENUM_EPISODE_VENDOR
_TYPE_BSX-Epis_VF^MDC|||||F
OBX|19|CWE|739584^MDC_IDC_EPISODE_TYPE_INDUCED^MDC|2|755330^MDC_IDC_ENUM_EPISODE_TYPE_
INDUCED_NO^MDC|||||F
OBX|20|NM|739712^MDC_IDC_EPISODE_DURATION^MDC|2|168430090|s|||||F
OBX|21|ST|739680^MDC_IDC_EPISODE_DETECTION_THERAPY_DETAILS^MDC|2|BEHANDLAD EPISOD:
CHOCKIMPEDANS= Utanför området SLUTGILTIG CHOCKPOLARITET= STD|||||F
OBX|22|ST|739536^MDC_IDC_EPISODE_ID^MDC|3|2|||||F
OBX|23|DTM|739552^MDC_IDC_EPISODE_DTM^MDC|3|20131026082822|||||F
OBX|24|CWE|739568^MDC_IDC_EPISODE_TYPE^MDC|3|754881^MDC_IDC_ENUM_EPISODE_TYPE_Epis_VF^
MDC|||||F
OBX|25|CWE|739600^MDC_IDC_EPISODE_VENDOR_TYPE^MDC|3|771073^MDC_IDC_ENUM_EPISODE_VENDOR
_TYPE_BSX-Epis_VF^MDC|||||F
OBX|26|CWE|739584^MDC_IDC_EPISODE_TYPE_INDUCED^MDC|3|755330^MDC_IDC_ENUM_EPISODE_TYPE_
INDUCED_NO^MDC|||||F
OBX|27|NM|739712^MDC_IDC_EPISODE_DURATION^MDC|3|168430090|s|||||F
OBX|28|ST|739680^MDC_IDC_EPISODE_DETECTION_THERAPY_DETAILS^MDC|3|BEHANDLAD EPISOD:
```


CHOCKIMPEDANS= 138 Ohm SLUTGILTIG CHOCKPOLARITET= REV|||||F
OBX|29|ST|739536^MDC_IDC_EPISODE_ID^MDC|4|3|||||F
OBX|30|DTM|739552^MDC_IDC_EPISODE_DTM^MDC|4|20131026082822|||||F
OBX|31|CWE|739568^MDC_IDC_EPISODE_TYPE^MDC|4|754888^MDC_IDC_ENUM_EPISODE_TYPE_Epis_Other^MDC|||||F
OBX|32|CWE|739600^MDC_IDC_EPISODE_VENDOR_TYPE^MDC|4|||||F
OBX|33|CWE|739584^MDC_IDC_EPISODE_TYPE_INDUCED^MDC|4|755330^MDC_IDC_ENUM_EPISODE_TYPE_INDUCED_NO^MDC|||||F
OBX|34|NM|739712^MDC_IDC_EPISODE_DURATION^MDC|4|168430090|s|||||F
OBX|35|ST|739680^MDC_IDC_EPISODE_DETECTION_THERAPY_DETAILS^MDC|4|OBEHANDLAD EPISOD|||||F
OBX|36|ST|739536^MDC_IDC_EPISODE_ID^MDC|5|4|||||F
OBX|37|DTM|739552^MDC_IDC_EPISODE_DTM^MDC|5|20131026082822|||||F
OBX|38|CWE|739568^MDC_IDC_EPISODE_TYPE^MDC|5|754888^MDC_IDC_ENUM_EPISODE_TYPE_Epis_Other^MDC|||||F
OBX|39|CWE|739600^MDC_IDC_EPISODE_VENDOR_TYPE^MDC|5|||||F
OBX|40|CWE|739584^MDC_IDC_EPISODE_TYPE_INDUCED^MDC|5|755330^MDC_IDC_ENUM_EPISODE_TYPE_INDUCED_NO^MDC|||||F
OBX|41|NM|739712^MDC_IDC_EPISODE_DURATION^MDC|5|168430090|s|||||F
OBX|42|ST|739680^MDC_IDC_EPISODE_DETECTION_THERAPY_DETAILS^MDC|5|OBEHANDLAD EPISOD|||||F
OBX|43|ST|739536^MDC_IDC_EPISODE_ID^MDC|6|5|||||F
OBX|44|DTM|739552^MDC_IDC_EPISODE_DTM^MDC|6|20131026082822|||||F
OBX|45|CWE|739568^MDC_IDC_EPISODE_TYPE^MDC|6|754888^MDC_IDC_ENUM_EPISODE_TYPE_Epis_Other^MDC|||||F
OBX|46|CWE|739600^MDC_IDC_EPISODE_VENDOR_TYPE^MDC|6|||||F
OBX|47|CWE|739584^MDC_IDC_EPISODE_TYPE_INDUCED^MDC|6|755330^MDC_IDC_ENUM_EPISODE_TYPE_INDUCED_NO^MDC|||||F
OBX|48|NM|739712^MDC_IDC_EPISODE_DURATION^MDC|6|168430090|s|||||F
OBX|49|ST|739680^MDC_IDC_EPISODE_DETECTION_THERAPY_DETAILS^MDC|6|OBEHANDLAD EPISOD|||||F
OBX|50|ST|739536^MDC_IDC_EPISODE_ID^MDC|7|6|||||F
OBX|51|DTM|739552^MDC_IDC_EPISODE_DTM^MDC|7|20131026082822|||||F
OBX|52|CWE|739568^MDC_IDC_EPISODE_TYPE^MDC|7|754888^MDC_IDC_ENUM_EPISODE_TYPE_Epis_Other^MDC|||||F
OBX|53|CWE|739600^MDC_IDC_EPISODE_VENDOR_TYPE^MDC|7|||||F
OBX|54|CWE|739584^MDC_IDC_EPISODE_TYPE_INDUCED^MDC|7|755330^MDC_IDC_ENUM_EPISODE_TYPE_INDUCED_NO^MDC|||||F
OBX|55|NM|739712^MDC_IDC_EPISODE_DURATION^MDC|7|168430090|s|||||F
OBX|56|ST|739680^MDC_IDC_EPISODE_DETECTION_THERAPY_DETAILS^MDC|7|OBEHANDLAD EPISOD|||||F
OBX|57|ST|739536^MDC_IDC_EPISODE_ID^MDC|8|7|||||F
OBX|58|DTM|739552^MDC_IDC_EPISODE_DTM^MDC|8|20131026082822|||||F
OBX|59|CWE|739568^MDC_IDC_EPISODE_TYPE^MDC|8|754888^MDC_IDC_ENUM_EPISODE_TYPE_Epis_Other^MDC|||||F
OBX|60|CWE|739600^MDC_IDC_EPISODE_VENDOR_TYPE^MDC|8|||||F
OBX|61|CWE|739584^MDC_IDC_EPISODE_TYPE_INDUCED^MDC|8|755330^MDC_IDC_ENUM_EPISODE_TYPE_INDUCED_NO^MDC|||||F
OBX|62|NM|739712^MDC_IDC_EPISODE_DURATION^MDC|8|168430090|s|||||F
OBX|63|ST|739680^MDC_IDC_EPISODE_DETECTION_THERAPY_DETAILS^MDC|8|OBEHANDLAD EPISOD|||||F
OBX|64|ST|739536^MDC_IDC_EPISODE_ID^MDC|9|8|||||F
OBX|65|DTM|739552^MDC_IDC_EPISODE_DTM^MDC|9|20131026082822|||||F
OBX|66|CWE|739568^MDC_IDC_EPISODE_TYPE^MDC|9|754888^MDC_IDC_ENUM_EPISODE_TYPE_Epis_Other^MDC|||||F
OBX|67|CWE|739600^MDC_IDC_EPISODE_VENDOR_TYPE^MDC|9|||||F
OBX|68|CWE|739584^MDC_IDC_EPISODE_TYPE_INDUCED^MDC|9|755330^MDC_IDC_ENUM_EPISODE_TYPE_INDUCED_NO^MDC|||||F
OBX|69|NM|739712^MDC_IDC_EPISODE_DURATION^MDC|9|168430090|s|||||F
OBX|70|ST|739680^MDC_IDC_EPISODE_DETECTION_THERAPY_DETAILS^MDC|9|OBEHANDLAD EPISOD|||||F
OBX|71|CWE|737952^MDC_IDC_STAT_EPISODE_TYPE^MDC|1|754888^MDC_IDC_ENUM_EPISODE_TYPE_Epi

s_Other^MDC|||||F
OBX|72|CWE|737984^MDC_IDC_STAT_EPISODE_VENDOR_TYPE^MDC|1|||||F
OBX|73|NM|738000^MDC_IDC_STAT_EPISODE_RECENT_COUNT^MDC|1|2|||||F
OBX|74|DTM|738017^MDC_IDC_STAT_EPISODE_RECENT_COUNT_DTM_START^MDC|1|20131125|||||F
OBX|75|DTM|738018^MDC_IDC_STAT_EPISODE_RECENT_COUNT_DTM_END^MDC|1|20131126|||||F
OBX|76|NM|738032^MDC_IDC_STAT_EPISODE_TOTAL_COUNT^MDC|1|8|||||F
OBX|77|DTM|738049^MDC_IDC_STAT_EPISODE_TOTAL_COUNT_DTM_START^MDC|1|20131119|||||F
OBX|78|DTM|738050^MDC_IDC_STAT_EPISODE_TOTAL_COUNT_DTM_END^MDC|1|20131126|||||F
OBX|79|CWE|737952^MDC_IDC_STAT_EPISODE_TYPE^MDC|2|754881^MDC_IDC_ENUM_EPISODE_TYPE_Epi
s_VF^MDC|||||F
OBX|80|CWE|737984^MDC_IDC_STAT_EPISODE_VENDOR_TYPE^MDC|2|771073^MDC_IDC_ENUM_EPISODE_V
ENDOR_TYPE_BSX-Epis_VF^MDC|||||F
OBX|81|NM|738000^MDC_IDC_STAT_EPISODE_RECENT_COUNT^MDC|2|1|||||F
OBX|82|DTM|738017^MDC_IDC_STAT_EPISODE_RECENT_COUNT_DTM_START^MDC|2|20131125|||||F
OBX|83|DTM|738018^MDC_IDC_STAT_EPISODE_RECENT_COUNT_DTM_END^MDC|2|20131126|||||F
OBX|84|NM|738032^MDC_IDC_STAT_EPISODE_TOTAL_COUNT^MDC|2|5|||||F
OBX|85|DTM|738049^MDC_IDC_STAT_EPISODE_TOTAL_COUNT_DTM_START^MDC|2|20131119|||||F
OBX|86|DTM|738050^MDC_IDC_STAT_EPISODE_TOTAL_COUNT_DTM_END^MDC|2|20131126|||||F
OBX|87|CWE|731520^MDC_IDC_SET_TACHYTHERAPY_VSTAT^MDC||754817^MDC_IDC_ENUM_THERAPY_STAT
US_On^MDC|||||F
OBX|88|CWE|731648^MDC_IDC_SET_ZONE_TYPE^MDC|1|754945^MDC_IDC_ENUM_ZONE_TYPE_Zone_VF^MD
C|||||F
OBX|89|CWE|731712^MDC_IDC_SET_ZONE_VENDOR_TYPE^MDC|1|771139^MDC_IDC_ENUM_ZONE_VENDOR_T
YPE_BSX-Zone_VF^MDC|||||F
OBX|90|CWE|731776^MDC_IDC_SET_ZONE_STATUS^MDC|1|755009^MDC_IDC_ENUM_ZONE_STATUS_Active
^MDC|||||F
OBX|91|NM|731840^MDC_IDC_SET_ZONE_DETECTION_INTERVAL^MDC|1|250|ms|||||F
OBX|92|NM|732225^MDC_IDC_SET_ZONE_SHOCK_ENERGY_1^MDC|1|80|J|||||F
OBX|93|CWE|731648^MDC_IDC_SET_ZONE_TYPE^MDC|2|754946^MDC_IDC_ENUM_ZONE_TYPE_Zone_VT^MD
C|||||F
OBX|94|CWE|731712^MDC_IDC_SET_ZONE_VENDOR_TYPE^MDC|2|771137^MDC_IDC_ENUM_ZONE_VENDOR_T
YPE_BSX-Zone_VT^MDC|||||F
OBX|95|CWE|731776^MDC_IDC_SET_ZONE_STATUS^MDC|2|755009^MDC_IDC_ENUM_ZONE_STATUS_Active
^MDC|||||F
OBX|96|ST|732032^MDC_IDC_SET_ZONE_DETECTION_DETAILS^MDC|2|SMART-laddning har förlängts
med: 0.27 sekunder|||||F
OBX|97|NM|731840^MDC_IDC_SET_ZONE_DETECTION_INTERVAL^MDC|2|260|ms|||||F
OBX|98|NM|732225^MDC_IDC_SET_ZONE_SHOCK_ENERGY_1^MDC|2|80|J|||||F
OBX|99|CWE|720897^MDC_IDC_DEV_TYPE^MDC||753666^MDC_IDC_ENUM_DEV_TYPE_ICD^MDC|||||F
OBX|100|ST|720898^MDC_IDC_DEV_MODEL^MDC||1010|||||F
OBX|101|ST|720899^MDC_IDC_DEV_SERIAL^MDC||474|||||F
OBX|102|CWE|720900^MDC_IDC_DEV_MFG^MDC||753732^MDC_IDC_ENUM_MFG_BSX^MDC|||||F
OBX|103|DTM|720901^MDC_IDC_DEV_IMPLANT_DT^MDC||20131119|||||F
OBX|104|ST|720961^MDC_IDC_LEAD_MODEL^MDC|1|3030|||||F
OBX|105|ST|720962^MDC_IDC_LEAD_SERIAL^MDC|1|g032353|||||F
OBX|106|CWE|720963^MDC_IDC_LEAD_MFG^MDC|1|753732^MDC_IDC_ENUM_MFG_BSX^MDC|||||F
OBX|107|CWE|720966^MDC_IDC_LEAD_LOCATION^MDC|1|753861^MDC_IDC_ENUM_LEAD_LOCATION_CHAMB
ER_OTHER^MDC|||||F
OBX|108|CWE|720967^MDC_IDC_LEAD_LOCATION_DETAIL_1^MDC|1|753944^MDC_IDC_ENUM_LEAD_LOCAT
ION_DETAIL_Subcutaneous^MDC|||||F
OBX|109|NM|737824^MDC_IDC_STAT_TACHYTHERAPY_SHOCKS_DELIVERED_RECENT^MDC||2|||||F
OBX|110|DTM|737937^MDC_IDC_STAT_TACHYTHERAPY_RECENT_DTM_START^MDC||20131125|||||F
OBX|111|DTM|737938^MDC_IDC_STAT_TACHYTHERAPY_RECENT_DTM_END^MDC||20131126|||||F
OBX|112|NM|737840^MDC_IDC_STAT_TACHYTHERAPY_SHOCKS_DELIVERED_TOTAL^MDC||9|||||F
OBX|113|DTM|737921^MDC_IDC_STAT_TACHYTHERAPY_TOTAL_DTM_START^MDC||20131119|||||F
OBX|114|DTM|737922^MDC_IDC_STAT_TACHYTHERAPY_TOTAL_DTM_END^MDC||20131126|||||F
OBX|115|ED|18750-0^Cardiac Electrophysiology Report^LN||Application^PDF^^Base64^{kodad
PDF medföljer här}|||||F||201311260000-0600

Exempelmeddelande 2 – Övriga enheter (ej S-ICD)



MSH|^~\&|LATITUDE Link|BOSTON SCIENTIFIC||The
Clinic|201410091424+0000||ORU^R01^ORU_R01|55963301412864678702|P|2.6|||||UNICODE UTF-
8|sv^Swedish||IHE_PCD_009^IHE_PCD^1.3.6.1.4.1.19376.1.6.1.9.1^ISO
PID|1||model:N118/serial:559633^^^BSX^U||TEST^SAMPLE||19530514|U
PV1||R
OBR|1||63|754050^MDC_IDC_ENUM_SESS_TYPE_InClinic^MDC|||201410081240|||||||F
NTE|1||okt 08, 2014 12:40 - V. takymod är inställd på annat värde än Monitor+Behandling
OBX|1|DTM|721025^MDC_IDC_SESS_DTM^MDC||201410081240|||||F
OBX|2|CWE|721026^MDC_IDC_SESS_TYPE^MDC||754050^MDC_IDC_ENUM_SESS_TYPE_InClinic^MDC|||
||F
OBX|3|ST|721033^MDC_IDC_SESS_CLINIC_NAME^MDC||The Clinic|||||F
OBX|4|DTM|721216^MDC_IDC_MSMT_BATTERY_DTM^MDC||201410081240|||||F
OBX|5|CWE|721280^MDC_IDC_MSMT_BATTERY_STATUS^MDC||754113^MDC_IDC_ENUM_BATTERY_STATUS_B
OS^MDC|||||F
OBX|6|NM|721472^MDC_IDC_MSMT_BATTERY_REMAINING_LONGEVITY^MDC||54|mo|||||F
OBX|7|NM|721536^MDC_IDC_MSMT_BATTERY_REMAINING_PERCENTAGE^MDC||81|%|||||F
OBX|8|DTM|721664^MDC_IDC_MSMT_CAP_CHARGE_DTM^MDC||201409291735|||||F
OBX|9|NM|721728^MDC_IDC_MSMT_CAP_CHARGE_TIME^MDC||19.5|s|||||F
OBX|10|CWE|721856^MDC_IDC_MSMT_CAP_CHARGE_TYPE^MDC||754178^MDC_IDC_ENUM_CHARGE_TYPE_R
eformation^MDC|||||F
OBX|11|DTM|721664^MDC_IDC_MSMT_CAP_CHARGE_DTM^MDC||201409171216|||||F
OBX|12|NM|721728^MDC_IDC_MSMT_CAP_CHARGE_TIME^MDC||2|0.4|s|||||F
OBX|13|NM|721792^MDC_IDC_MSMT_CAP_CHARGE_ENERGY^MDC||2|2|J|||||F
OBX|14|CWE|721856^MDC_IDC_MSMT_CAP_CHARGE_TYPE^MDC||754177^MDC_IDC_ENUM_CHARGE_TYPE_S
hock^MDC|||||F
OBX|15|CWE|737952^MDC_IDC_STAT_EPISODE_TYPE^MDC||754881^MDC_IDC_ENUM_EPISODE_TYPE_Epi
s_VF^MDC|||||F
OBX|16|CWE|737984^MDC_IDC_STAT_EPISODE_VENDOR_TYPE^MDC||771073^MDC_IDC_ENUM_EPISODE_V
ENDOR_TYPE_BSX-Epis_VF^MDC|||||F
OBX|17|NM|738000^MDC_IDC_STAT_EPISODE_RECENT_COUNT^MDC||1|2|||||F
OBX|18|DTM|738017^MDC_IDC_STAT_EPISODE_RECENT_COUNT_DTM_START^MDC||20140603|||||F
OBX|19|DTM|738018^MDC_IDC_STAT_EPISODE_RECENT_COUNT_DTM_END^MDC||20141008|||||F
OBX|20|CWE|737952^MDC_IDC_STAT_EPISODE_TYPE^MDC||2|754882^MDC_IDC_ENUM_EPISODE_TYPE_Epi
s_VT^MDC|||||F
OBX|21|CWE|737984^MDC_IDC_STAT_EPISODE_VENDOR_TYPE^MDC||771074^MDC_IDC_ENUM_EPISODE_V
ENDOR_TYPE_BSX-Epis_VT^MDC|||||F
OBX|22|NM|738000^MDC_IDC_STAT_EPISODE_RECENT_COUNT^MDC||2|0|||||F
OBX|23|DTM|738017^MDC_IDC_STAT_EPISODE_RECENT_COUNT_DTM_START^MDC||20140603|||||F
OBX|24|DTM|738018^MDC_IDC_STAT_EPISODE_RECENT_COUNT_DTM_END^MDC||20141008|||||F
OBX|25|CWE|737952^MDC_IDC_STAT_EPISODE_TYPE^MDC||3|754882^MDC_IDC_ENUM_EPISODE_TYPE_Epi
s_VT^MDC|||||F
OBX|26|CWE|737984^MDC_IDC_STAT_EPISODE_VENDOR_TYPE^MDC||3|771075^MDC_IDC_ENUM_EPISODE_V
ENDOR_TYPE_BSX-Epis_VT-1^MDC|||||F
OBX|27|NM|738000^MDC_IDC_STAT_EPISODE_RECENT_COUNT^MDC||3|3|||||F
OBX|28|DTM|738017^MDC_IDC_STAT_EPISODE_RECENT_COUNT_DTM_START^MDC||3|20140603|||||F
OBX|29|DTM|738018^MDC_IDC_STAT_EPISODE_RECENT_COUNT_DTM_END^MDC||3|20141008|||||F
OBX|30|CWE|737952^MDC_IDC_STAT_EPISODE_TYPE^MDC||4|754885^MDC_IDC_ENUM_EPISODE_TYPE_Epi
s_Monitor^MDC|||||F
OBX|31|CWE|737984^MDC_IDC_STAT_EPISODE_VENDOR_TYPE^MDC||4|0|||||F
OBX|32|NM|738000^MDC_IDC_STAT_EPISODE_RECENT_COUNT^MDC||4|0|||||F
OBX|33|DTM|738017^MDC_IDC_STAT_EPISODE_RECENT_COUNT_DTM_START^MDC||4|20140603|||||F
OBX|34|DTM|738018^MDC_IDC_STAT_EPISODE_RECENT_COUNT_DTM_END^MDC||4|20141008|||||F
OBX|35|CWE|737952^MDC_IDC_STAT_EPISODE_TYPE^MDC||5|754888^MDC_IDC_ENUM_EPISODE_TYPE_Epi
s_Other^MDC|||||F
OBX|36|CWE|737984^MDC_IDC_STAT_EPISODE_VENDOR_TYPE^MDC||5|0|||||F
OBX|37|NM|738000^MDC_IDC_STAT_EPISODE_RECENT_COUNT^MDC||5|0|||||F
OBX|38|DTM|738017^MDC_IDC_STAT_EPISODE_RECENT_COUNT_DTM_START^MDC||5|20140603|||||F
OBX|39|DTM|738018^MDC_IDC_STAT_EPISODE_RECENT_COUNT_DTM_END^MDC||5|20141008|||||F
OBX|40|CWE|737952^MDC_IDC_STAT_EPISODE_TYPE^MDC||6|754882^MDC_IDC_ENUM_EPISODE_TYPE_Epi
s_VT^MDC|||||F

OBX|41|CWE|737984^MDC_IDC_STAT_EPISODE_VENDOR_TYPE^MDC|6|771077^MDC_IDC_ENUM_EPISODE_V
ENDOR_TYPE_BSX-Epis_NSVT^MDC|||||F
OBX|42|NM|738000^MDC_IDC_STAT_EPISODE_RECENT_COUNT^MDC|6|0|||||F
OBX|43|DTM|738017^MDC_IDC_STAT_EPISODE_RECENT_COUNT_DTM_START^MDC|6|20140603|||||F
OBX|44|DTM|738018^MDC_IDC_STAT_EPISODE_RECENT_COUNT_DTM_END^MDC|6|20141008|||||F
OBX|45|CWE|737952^MDC_IDC_STAT_EPISODE_TYPE^MDC|7|754883^MDC_IDC_ENUM_EPISODE_TYPE_Epi
s_ATAF^MDC|||||F
OBX|46|CWE|737984^MDC_IDC_STAT_EPISODE_VENDOR_TYPE^MDC|7|771078^MDC_IDC_ENUM_EPISODE_V
ENDOR_TYPE_BSX-Epis_ATR^MDC|||||F
OBX|47|NM|738000^MDC_IDC_STAT_EPISODE_RECENT_COUNT^MDC|7|3|||||F
OBX|48|DTM|738017^MDC_IDC_STAT_EPISODE_RECENT_COUNT_DTM_START^MDC|7|20140603|||||F
OBX|49|DTM|738018^MDC_IDC_STAT_EPISODE_RECENT_COUNT_DTM_END^MDC|7|20141008|||||F
OBX|50|ED|18750-0^Cardiac Electrophysiology Report^LN||Application^PDF^^Base64^{kodad
PDF medföljer här}|||||F|||201410081240
OBX|51|CWE|731392^MDC_IDC_SET_BRADY_AT_MODE_SWITCH_MODE^MDC||754778^MDC_IDC_ENUM_BRADY
_MODE_VDI^MDC|||||F
OBX|52|NM|731456^MDC_IDC_SET_BRADY_AT_MODE_SWITCH_RATE^MDC||170|{beats}/min|||||F
OBX|53|NM|729344^MDC_IDC_SET_CRT_LVRV_DELAY^MDC||0|ms|||||F
OBX|54|CWE|729408^MDC_IDC_SET_CRT_PACED_CHAMBERS^MDC||755267^MDC_IDC_ENUM_CRT_PACED_CH
AMBERS_Biv^MDC|||||F
OBX|55|CWE|730752^MDC_IDC_SET_BRADY_MODE^MDC||754760^MDC_IDC_ENUM_BRADY_MODE_DDD^MDC||
|||||F
OBX|56|NM|730880^MDC_IDC_SET_BRADY_LOWRATE^MDC||65|{beats}/min|||||F
OBX|57|NM|731136^MDC_IDC_SET_BRADY_MAX_TRACKING_RATE^MDC||115|{beats}/min|||||F
OBX|58|NM|731265^MDC_IDC_SET_BRADY_SAV_DELAY_HIGH^MDC||80|ms|||||F
OBX|59|NM|731329^MDC_IDC_SET_BRADY_PAV_DELAY_HIGH^MDC||130|ms|||||F
OBX|60|CWE|731520^MDC_IDC_SET_TACHYTHERAPY_VSTAT^MDC||754818^MDC_IDC_ENUM_THERAPY_STAT
US_Off^MDC|||||F
OBX|61|CWE|731648^MDC_IDC_SET_ZONE_TYPE^MDC|1|754945^MDC_IDC_ENUM_ZONE_TYPE_Zone_VF^MD
C|||||F
OBX|62|CWE|731712^MDC_IDC_SET_ZONE_VENDOR_TYPE^MDC|1|771139^MDC_IDC_ENUM_ZONE_VENDOR_T
YPE_BSX-Zone_VF^MDC|||||F
OBX|63|CWE|731776^MDC_IDC_SET_ZONE_STATUS^MDC|1|755011^MDC_IDC_ENUM_ZONE_STATUS_Monito
r^MDC|||||F
OBX|64|NM|731840^MDC_IDC_SET_ZONE_DETECTION_INTERVAL^MDC|1|300|ms|||F
OBX|65|CWE|731648^MDC_IDC_SET_ZONE_TYPE^MDC|2|754946^MDC_IDC_ENUM_ZONE_TYPE_Zone_VT^MD
C|||||F
OBX|66|CWE|731712^MDC_IDC_SET_ZONE_VENDOR_TYPE^MDC|2|771137^MDC_IDC_ENUM_ZONE_VENDOR_T
YPE_BSX-Zone_VT^MDC|||||F
OBX|67|CWE|731776^MDC_IDC_SET_ZONE_STATUS^MDC|2|755011^MDC_IDC_ENUM_ZONE_STATUS_Monito
r^MDC|||||F
OBX|68|NM|731840^MDC_IDC_SET_ZONE_DETECTION_INTERVAL^MDC|2|375|ms|||F
OBX|69|CWE|731648^MDC_IDC_SET_ZONE_TYPE^MDC|3|754946^MDC_IDC_ENUM_ZONE_TYPE_Zone_VT^MD
C|||||F
OBX|70|CWE|731712^MDC_IDC_SET_ZONE_VENDOR_TYPE^MDC|3|771138^MDC_IDC_ENUM_ZONE_VENDOR_T
YPE_BSX-Zone_VT-1^MDC|||||F
OBX|71|CWE|731776^MDC_IDC_SET_ZONE_STATUS^MDC|3|755011^MDC_IDC_ENUM_ZONE_STATUS_Monito
r^MDC|||||F
OBX|72|NM|731840^MDC_IDC_SET_ZONE_DETECTION_INTERVAL^MDC|3|429|ms|||||F
OBX|73|NM|729536^MDC_IDC_SET_LEADCHNL_RA_SENSING_SENSITIVITY^MDC||0.25|mV|||||F
OBX|74|CWE|729920^MDC_IDC_SET_LEADCHNL_RA_SENSING_ADAPTATION_MODE^MDC||754625^MDC_IDC_
ENUM_SENSING_ADAPTATION_MODE_AdaptiveSensing^MDC|||||F
OBX|75|CWE|729600^MDC_IDC_SET_LEADCHNL_RA_SENSING_POLARITY^MDC||754306^MDC_IDC_ENUM_PO
LARITY_BI^MDC|||||F
OBX|76|NM|729537^MDC_IDC_SET_LEADCHNL_RV_SENSING_SENSITIVITY^MDC||0.6|mV|||||F
OBX|77|CWE|729921^MDC_IDC_SET_LEADCHNL_RV_SENSING_ADAPTATION_MODE^MDC||754625^MDC_IDC_
ENUM_SENSING_ADAPTATION_MODE_AdaptiveSensing^MDC|||||F
OBX|78|CWE|729601^MDC_IDC_SET_LEADCHNL_RV_SENSING_POLARITY^MDC||754306^MDC_IDC_ENUM_PO
LARITY_BI^MDC|||||F
OBX|79|NM|729539^MDC_IDC_SET_LEADCHNL_LV_SENSING_SENSITIVITY^MDC||1.0|mV|||||F
OBX|80|CWE|729923^MDC_IDC_SET_LEADCHNL_LV_SENSING_ADAPTATION_MODE^MDC||754625^MDC_IDC_
ENUM_SENSING_ADAPTATION_MODE_AdaptiveSensing^MDC|||||F

OBX|81|CWE|729676^MDC_IDC_SET_LEADCHNL_LV_SENSING_ANODE_LOCATION^MDC||754498^MDC_IDC_ENUM_ELECTRODE_LOCATION_RV^MDC|||||F
OBX|82|CWE|729804^MDC_IDC_SET_LEADCHNL_LV_SENSING_CATHODE_LOCATION^MDC||754500^MDC_IDC_ENUM_ELECTRODE_LOCATION_LV^MDC|||||F
OBX|83|CWE|729868^MDC_IDC_SET_LEADCHNL_LV_SENSING_CATHODE_ELECTRODE^MDC||754561^MDC_IDC_ENUM_ELECTRODE_NAME_Tip^MDC|||||F
OBX|84|NM|729984^MDC_IDC_SET_LEADCHNL_RA_PACING_AMPLITUDE^MDC||2.5|V|||||F
OBX|85|NM|730048^MDC_IDC_SET_LEADCHNL_RA_PACING_PULSEWIDTH^MDC||0.4|ms|||||F
OBX|86|CWE|730112^MDC_IDC_SET_LEADCHNL_RA_PACING_POLARITY^MDC||754306^MDC_IDC_ENUM_POLARITY_BI^MDC|||||F
OBX|87|NM|729985^MDC_IDC_SET_LEADCHNL_RV_PACING_AMPLITUDE^MDC||2.5|V|||||F
OBX|88|NM|730049^MDC_IDC_SET_LEADCHNL_RV_PACING_PULSEWIDTH^MDC||0.4|ms|||||F
OBX|89|CWE|730113^MDC_IDC_SET_LEADCHNL_RV_PACING_POLARITY^MDC||754306^MDC_IDC_ENUM_POLARITY_BI^MDC|||||F
OBX|90|NM|729987^MDC_IDC_SET_LEADCHNL_LV_PACING_AMPLITUDE^MDC||2.5|V|||||F
OBX|91|NM|730051^MDC_IDC_SET_LEADCHNL_LV_PACING_PULSEWIDTH^MDC||0.4|ms|||||F
OBX|92|CWE|730188^MDC_IDC_SET_LEADCHNL_LV_PACING_ANODE_LOCATION^MDC||754498^MDC_IDC_ENUM_ELECTRODE_LOCATION_RV^MDC|||||F
OBX|93|CWE|730316^MDC_IDC_SET_LEADCHNL_LV_PACING_CATHODE_LOCATION^MDC||754500^MDC_IDC_ENUM_ELECTRODE_LOCATION_LV^MDC|||||F
OBX|94|CWE|730380^MDC_IDC_SET_LEADCHNL_LV_PACING_CATHODE_ELECTRODE^MDC||754561^MDC_IDC_ENUM_ELECTRODE_NAME_Tip^MDC|||||F
OBX|95|CWE|720897^MDC_IDC_DEV_TYPE^MDC||753667^MDC_IDC_ENUM_DEV_TYPE_CRT_D^MDC|||||F
OBX|96|ST|720898^MDC_IDC_DEV_MODEL^MDC||N118|||||F
OBX|97|ST|720899^MDC_IDC_DEV_SERIAL^MDC||559633|||||F
OBX|98|CWE|720900^MDC_IDC_DEV_MFG^MDC||753732^MDC_IDC_ENUM_MFG_BSX^MDC|||||F
OBX|99|DTM|720901^MDC_IDC_DEV_IMPLANT_DT^MDC||20081009|||||F
OBX|100|DTM|721921^MDC_IDC_MSMT_LEADCHNL_RA_DTM_START^MDC||20141008|||||F
OBX|101|NM|722051^MDC_IDC_MSMT_LEADCHNL_RA_SENSING_INTR_AMPL_MEAN^MDC||3.0|mV|||||F|||20141008
OBX|102|CWE|722112^MDC_IDC_MSMT_LEADCHNL_RA_SENSING_POLARITY^MDC||754306^MDC_IDC_ENUM_POLARITY_BI^MDC|||||F
OBX|103|NM|722176^MDC_IDC_MSMT_LEADCHNL_RA_PACING_THRESHOLD_AMPLITUDE^MDC||1.3|V|||||F|||20141008
OBX|104|NM|722240^MDC_IDC_MSMT_LEADCHNL_RA_PACING_THRESHOLD_PULSEWIDTH^MDC||0.4|ms|||||F|||20141008
OBX|105|CWE|722304^MDC_IDC_MSMT_LEADCHNL_RA_PACING_THRESHOLD_MEASUREMENT_METHOD^MDC||754369^MDC_IDC_ENUM_MEASUREMENT_METHOD_ProgrammerManual^MDC|||||F
OBX|106|CWE|722368^MDC_IDC_MSMT_LEADCHNL_RA_PACING_THRESHOLD_POLARITY^MDC||754306^MDC_IDC_ENUM_POLARITY_BI^MDC|||||F
OBX|107|NM|722432^MDC_IDC_MSMT_LEADCHNL_RA_IMPEDANCE_VALUE^MDC||544|ohms|||||F|||20141008
OBX|108|CWE|722496^MDC_IDC_MSMT_LEADCHNL_RA_IMPEDANCE_POLARITY^MDC||754306^MDC_IDC_ENUM_POLARITY_BI^MDC|||||F
OBX|109|DTM|721925^MDC_IDC_MSMT_LEADCHNL_RV_DTM_START^MDC||20141008|||||F
OBX|110|NM|722055^MDC_IDC_MSMT_LEADCHNL_RV_SENSING_INTR_AMPL_MEAN^MDC||5.6|mV|||||F|||20141008
OBX|111|CWE|722113^MDC_IDC_MSMT_LEADCHNL_RV_SENSING_POLARITY^MDC||754306^MDC_IDC_ENUM_POLARITY_BI^MDC|||||F
OBX|112|NM|722177^MDC_IDC_MSMT_LEADCHNL_RV_PACING_THRESHOLD_AMPLITUDE^MDC||1.7|V|||||F|||20141008
OBX|113|NM|722241^MDC_IDC_MSMT_LEADCHNL_RV_PACING_THRESHOLD_PULSEWIDTH^MDC||0.4|ms|||||F|||20141008
OBX|114|CWE|722305^MDC_IDC_MSMT_LEADCHNL_RV_PACING_THRESHOLD_MEASUREMENT_METHOD^MDC||754369^MDC_IDC_ENUM_MEASUREMENT_METHOD_ProgrammerManual^MDC|||||F
OBX|115|CWE|722369^MDC_IDC_MSMT_LEADCHNL_RV_PACING_THRESHOLD_POLARITY^MDC||754306^MDC_IDC_ENUM_POLARITY_BI^MDC|||||F
OBX|116|NM|722433^MDC_IDC_MSMT_LEADCHNL_RV_IMPEDANCE_VALUE^MDC||494|ohms|||||F|||20141008
OBX|117|CWE|722497^MDC_IDC_MSMT_LEADCHNL_RV_IMPEDANCE_POLARITY^MDC||754306^MDC_IDC_ENUM_POLARITY_BI^MDC|||||F
OBX|118|DTM|721933^MDC_IDC_MSMT_LEADCHNL_LV_DTM_START^MDC||20141008|||||F

OBX|119|NM|722063^MDC_IDC_MSMT_LEADCHNL_LV_SENSING_INTR_AMPL_MEAN^MDC||mV||NAV|||F|||
 20141008
 OBX|120|CWE|722115^MDC_IDC_MSMT_LEADCHNL_LV_SENSING_POLARITY^MDC||754305^MDC_IDC_ENUM_
 POLARITY_UNI^MDC|||F
 OBX|121|NM|722179^MDC_IDC_MSMT_LEADCHNL_LV_PACING_THRESHOLD_AMPLITUDE^MDC||1.8|V|||F|||
 ||20141008
 OBX|122|NM|722243^MDC_IDC_MSMT_LEADCHNL_LV_PACING_THRESHOLD_PULSEWIDTH^MDC||0.4|ms|||F|||
 |F|||20141008
 OBX|123|CWE|722307^MDC_IDC_MSMT_LEADCHNL_LV_PACING_THRESHOLD_MEASUREMENT_METHOD^MDC||7
 54369^MDC_IDC_ENUM_MEASUREMENT_METHOD_ProgrammerManual^MDC|||F
 OBX|124|CWE|722371^MDC_IDC_MSMT_LEADCHNL_LV_PACING_THRESHOLD_POLARITY^MDC||754305^MDC_
 IDC_ENUM_POLARITY_UNI^MDC|||F
 OBX|125|NM|722435^MDC_IDC_MSMT_LEADCHNL_LV_IMPEDANCE_VALUE^MDC||604|ohms|||F|||20141
 008
 OBX|126|CWE|722499^MDC_IDC_MSMT_LEADCHNL_LV_IMPEDANCE_POLARITY^MDC||754305^MDC_IDC_ENU
 M_POLARITY_UNI^MDC|||F
 OBX|127|DTM|722560^MDC_IDC_MSMT_LEADHVCHNL_DTM_START^MDC|1|20141008|||F
 OBX|128|NM|722624^MDC_IDC_MSMT_LEADHVCHNL_IMPEDANCE^MDC|1|55|ohms|||F
 OBX|129|CWE|722688^MDC_IDC_MSMT_LEADHVCHNL_MEASUREMENT_TYPE^MDC|1|754433^MDC_IDC_ENUM_
 HVCHNL_MEASUREMENT_TYPE_LowVoltage^MDC|||F
 OBX|130|DTM|737489^MDC_IDC_STAT_DTM_START^MDC||20140603|||F
 OBX|131|DTM|737490^MDC_IDC_STAT_DTM_END^MDC||20141008|||F
 OBX|132|DTM|737505^MDC_IDC_STAT_BRADY_DTM_START^MDC||20140603|||F
 OBX|133|DTM|737506^MDC_IDC_STAT_BRADY_DTM_END^MDC||20141008|||F
 OBX|134|NM|737520^MDC_IDC_STAT_BRADY_RA_PERCENT_PACED^MDC||1|%|||F
 OBX|135|NM|737536^MDC_IDC_STAT_BRADY_RV_PERCENT_PACED^MDC||100|%|||F
 OBX|136|DTM|737777^MDC_IDC_STAT_CRT_DTM_START^MDC||20140603|||F
 OBX|137|DTM|737778^MDC_IDC_STAT_CRT_DTM_END^MDC||20141008|||F
 OBX|138|NM|737792^MDC_IDC_STAT_CRT_LV_PERCENT_PACED^MDC||100|%|||F
 OBX|139|DTM|737665^MDC_IDC_STAT_AT_DTM_START^MDC||20140605|||F
 OBX|140|DTM|737666^MDC_IDC_STAT_AT_DTM_END^MDC||20141008|||F
 OBX|141|NM|737696^MDC_IDC_STAT_AT_BURDEN_PERCENT^MDC||1|%|||F
 OBX|142|DTM|737937^MDC_IDC_STAT_TACHYTHERAPY_RECENT_DTM_START^MDC||20140603|||F
 OBX|143|DTM|737938^MDC_IDC_STAT_TACHYTHERAPY_RECENT_DTM_END^MDC||20141008|||F
 OBX|144|NM|737824^MDC_IDC_STAT_TACHYTHERAPY_SHOCKS_DELIVERED_RECENT^MDC||3|||F
 OBX|145|DTM|737921^MDC_IDC_STAT_TACHYTHERAPY_TOTAL_DTM_START^MDC||20081009|||F
 OBX|146|DTM|737922^MDC_IDC_STAT_TACHYTHERAPY_TOTAL_DTM_END^MDC||20141008|||F
 OBX|147|NM|737840^MDC_IDC_STAT_TACHYTHERAPY_SHOCKS_DELIVERED_TOTAL^MDC||53|||F
 OBX|148|NM|737856^MDC_IDC_STAT_TACHYTHERAPY_SHOCKS_ABORTED_RECENT^MDC||1|||F
 OBX|149|NM|737872^MDC_IDC_STAT_TACHYTHERAPY_SHOCKS_ABORTED_TOTAL^MDC||5|||F
 OBX|150|NM|737888^MDC_IDC_STAT_TACHYTHERAPY_ATP_DELIVERED_RECENT^MDC||3|||F
 OBX|151|NM|737904^MDC_IDC_STAT_TACHYTHERAPY_ATP_DELIVERED_TOTAL^MDC||35|||F

Definition av symboler som används i den här manualen

	Tillverkare
	Auktoriserad representant inom Europeiska Unionen

Outdated version. Do not use.
Version überholt. Nicht verwenden.
Version obsolète. Ne pas utiliser.
Versión obsoleta. No utilizar.
Versione obsoleta. Non utilizzate.
Verouderde versie. Niet gebruiken.
Föråldrad version. Använd ej.
Παλιά έκδοση. Μην την χρησιμοποιείτε.
Versão obsoleta. Não utilize.
Förældet version. Må ikke anvendes.
Zastaralá verze. Nepoužívat.
Utdatert versjon. Skal ikke brukes.
Zastaraná verzia. Nepoužívať.
Elavult verzió. Ne használja!
Wersja nieaktualna. Nie używać.

Outdated version. Do not use.
Version überholt. Nicht verwenden.
Version obsolète. Ne pas utiliser.
Versión obsoleta. No utilizar.
Versione obsoleta. Non utilizzare.
Verouderde versie. Niet gebruiken.
Föråldrad version. Använd ej.
Παλιά έκδοση. Μην την χρησιμοποιείτε.
Versão obsoleta. Não utilize.
Forældet version. Må ikke anvendes.
Zastaralá verze. Nepoužívat.
Utdatert versjon. Skal ikke brukes.
Zastaraná verzia. Nepoužívať.
Elavult verzió. Ne használja!
Wersja nieaktualna. Nie używać.

Outdated version. Do not use.
Version überholt. Nicht verwenden.
Version obsolète. Ne pas utiliser.
Versión obsoleta. No utilizar.
Versione obsoleta. Non utilizzate.
Verouderde versie. Niet gebruiken.
Föråldrad version. Använd ej.
Παλιά έκδοση. Μην την χρησιμοποιείτε.
Versão obsoleta. Não utilize.
Forældet version. Må ikke anvendes.
Zastaralá verze. Nepoužívat.
Utdatert versjon. Skal ikke brukes.
Zastaraná verzia. Nepoužívať.
Elavult verzió. Ne használja!
Wersja nieaktualna. Nie używać.

Boston Scientific



Boston Scientific
4100 Hamline Avenue North
St. Paul, MN 55112-5798 USA

1.800.CARDIAC (227.3422)
+1.651.582.4000

www.bostonscientific.com



Guidant Europe NV/SA
Boston Scientific
Green Square,
Lambroekstraat 5D
1831 Diegem, Belgium

1.800.CARDIAC (227.3422)
+1.651.582.4000

www.bostonscientific.com

© 2014 Boston Scientific Corporation or its affiliates.
All rights reserved.

359384-008 SV 2014-08

